

カイラル輸送現象

山本 直希（慶應義塾大学）

チュートリアル研究会

「高エネルギー重イオン衝突の物理：基礎・最先端・課題・展望」

内容

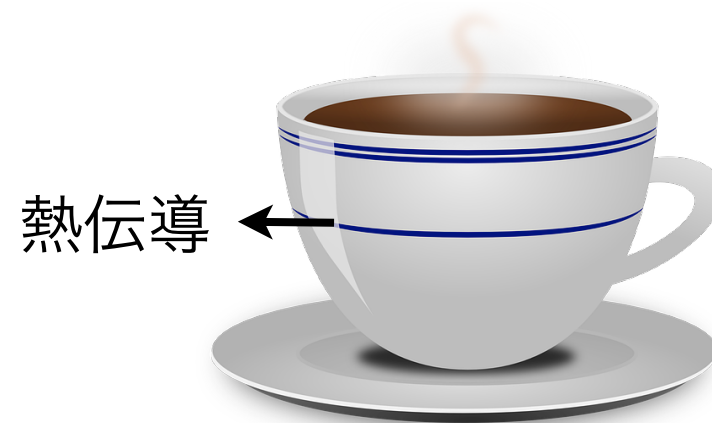
- カイラル輸送現象
- カイラル量子異常
- Quark-Gluon Plasma のカイラル輸送現象
- Weyl半金属・超新星への応用

単位系： $\hbar = c = k_B = e = 1$

カイラル輸送現象

輸送現象

- 古典的で身近な例：
 - Ohmの法則： $j_e = \sigma E$
 - Fourierの法則： $j_Q = \kappa(-\nabla T)$



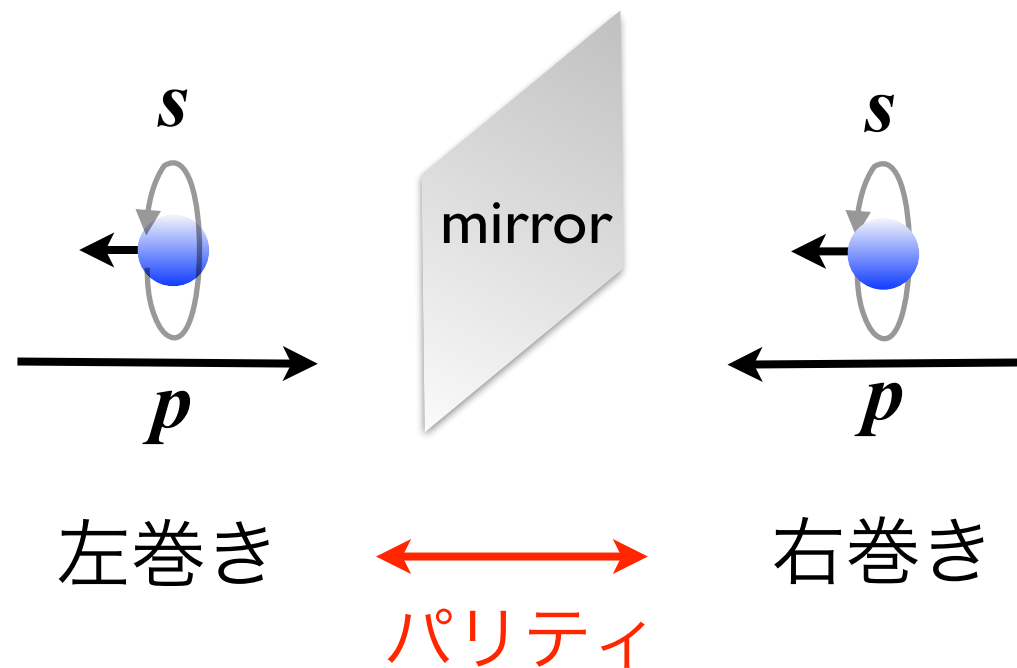
$j_e \sim B ?$

パリティ

$$\dot{j}_e = \kappa B$$

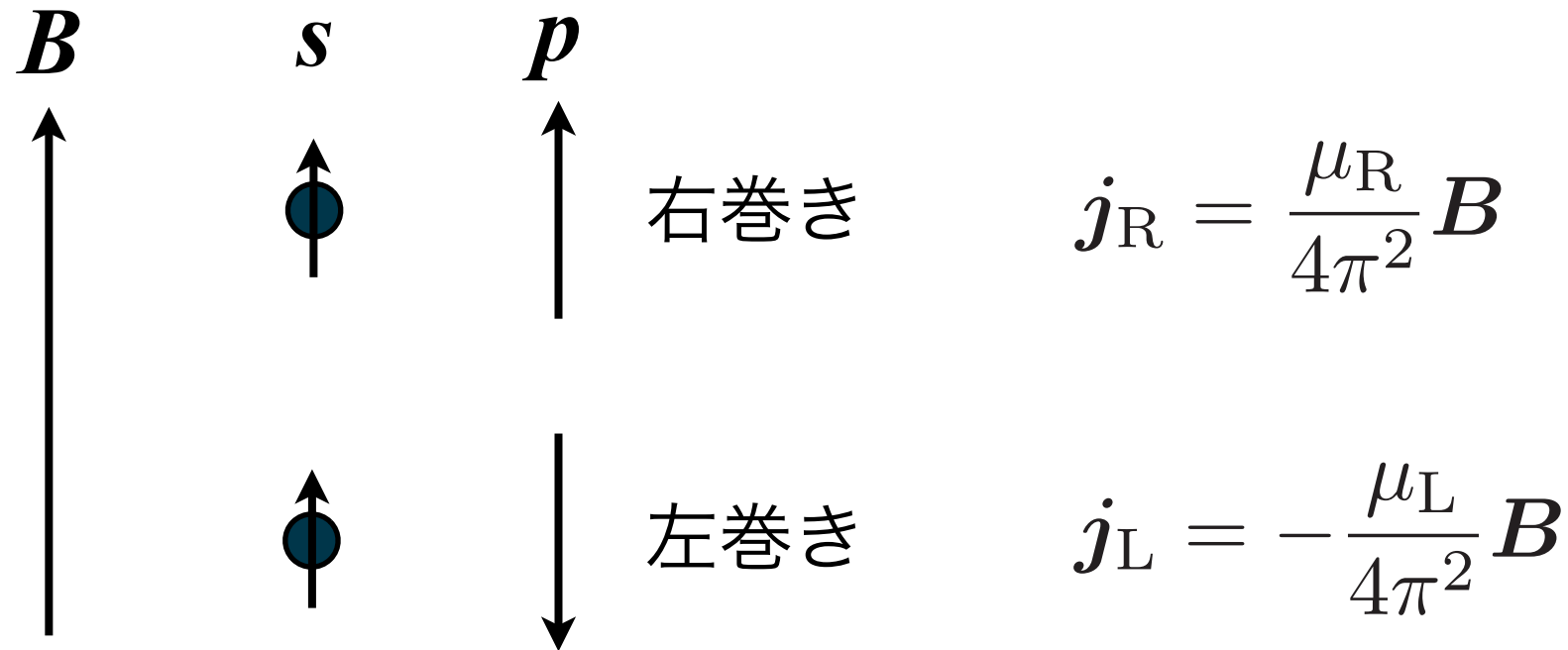
- パリティ変換のもとで $-\dot{j}_e = \kappa B$ ($B = \nabla \times A$)
- パリティに矛盾しない唯一の可能性： $\kappa = 0$
- 「普通の」金属では起きない

カイラリティ



$\mathbf{j}_e \sim (\mu_R - \mu_L) \mathbf{B}$ はパリティと矛盾しない

Chiral magnetic effect (CME)



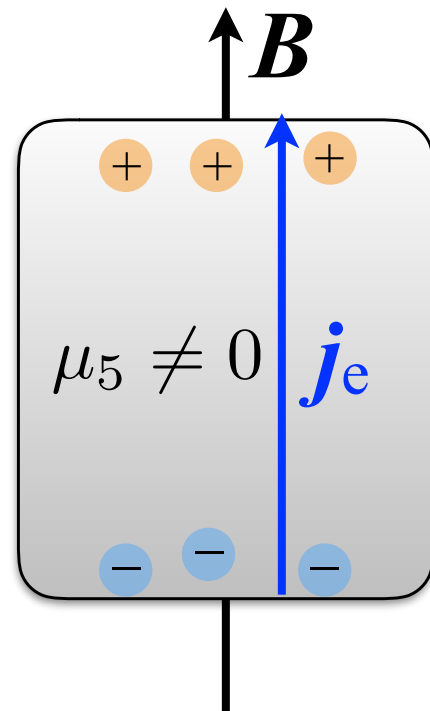
電流	$j_e \equiv j_R + j_L = \frac{\mu_5}{2\pi^2} B$
Chirality流	$j_5 \equiv j_R - j_L = \frac{\mu}{2\pi^2} B$

$$\mu_5 \equiv \frac{1}{2}(\mu_R - \mu_L)$$

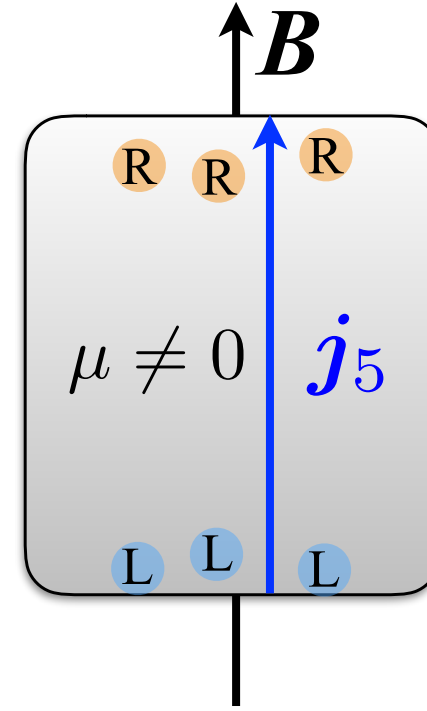
$$\mu \equiv \frac{1}{2}(\mu_R + \mu_L)$$

Vilenkin (1980); Nielsen, Ninomiya (1983); Fukushima, Kharzeev, Warringa (2008), ...

Chiral magnetic/separation effects



$$\text{CME: } j_e = \frac{\mu_5}{2\pi^2} B$$



$$\text{CSE: } j_5 = \frac{\mu}{2\pi^2} B$$

- 厳密な輸送係数：量子異常と関係（トポロジカルに量子化）
- エネルギー散逸なし（磁場は仕事せず）

Chiral vortical effect (CVE)

渦度 $\omega \equiv \frac{1}{2} \nabla \times v$

右巻き $j_R = \left(\frac{\mu_R^2}{4\pi^2} + \frac{T^2}{12} \right) \omega$

左巻き $j_L = - \left(\frac{\mu_L^2}{4\pi^2} + \frac{T^2}{12} \right) \omega$

粒子流 $j = \frac{\mu\mu_5}{\pi^2} \omega$

Chirality流 $j_5 = \left(\frac{\mu^2 + \mu_5^2}{2\pi^2} + \frac{T^2}{6} \right) \omega$

Vilenkin (1979); Erdmenger et al., Banerjee et al. (2008); Son, Surowka (2009); Landsteiner et al. (2011)

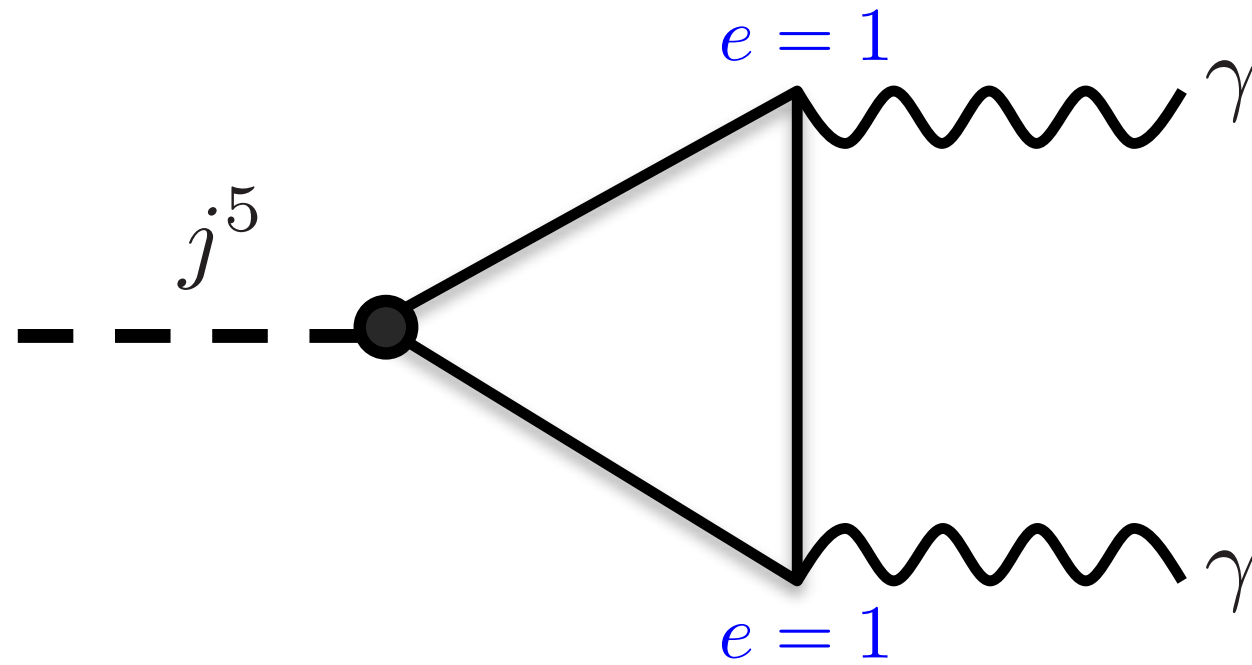
※ 歴史的には、超弦理論に端を発する「ゲージ重力対応」が重要な役割を果たした

カイラル量子異常

量子異常 (anomaly)

- 古典的な対称性が量子効果によって破れる現象
- トポロジーと深い関係 (スケールに依らない)
- 低エネルギーの物理に重要な帰結
 - $\pi^0 \rightarrow 2\gamma$ Adler, Bell, Jackiw (1969)
 - 輸送現象 : Chiral Magnetic Effect, etc.

QED anomaly



$$\partial_\mu j^{\mu 5} = \frac{1}{2\pi^2} \mathbf{E} \cdot \mathbf{B}$$

$$j^{\mu 5} \equiv j_{\text{R}}^\mu - j_{\text{L}}^\mu$$

e.g., Peskin & Schroeder "An Introduction to Quantum Field Theory," Chapter 19

1+1次元の相対論的な系

右巻き（右向き）の粒子

$$\longrightarrow \epsilon = p_z$$

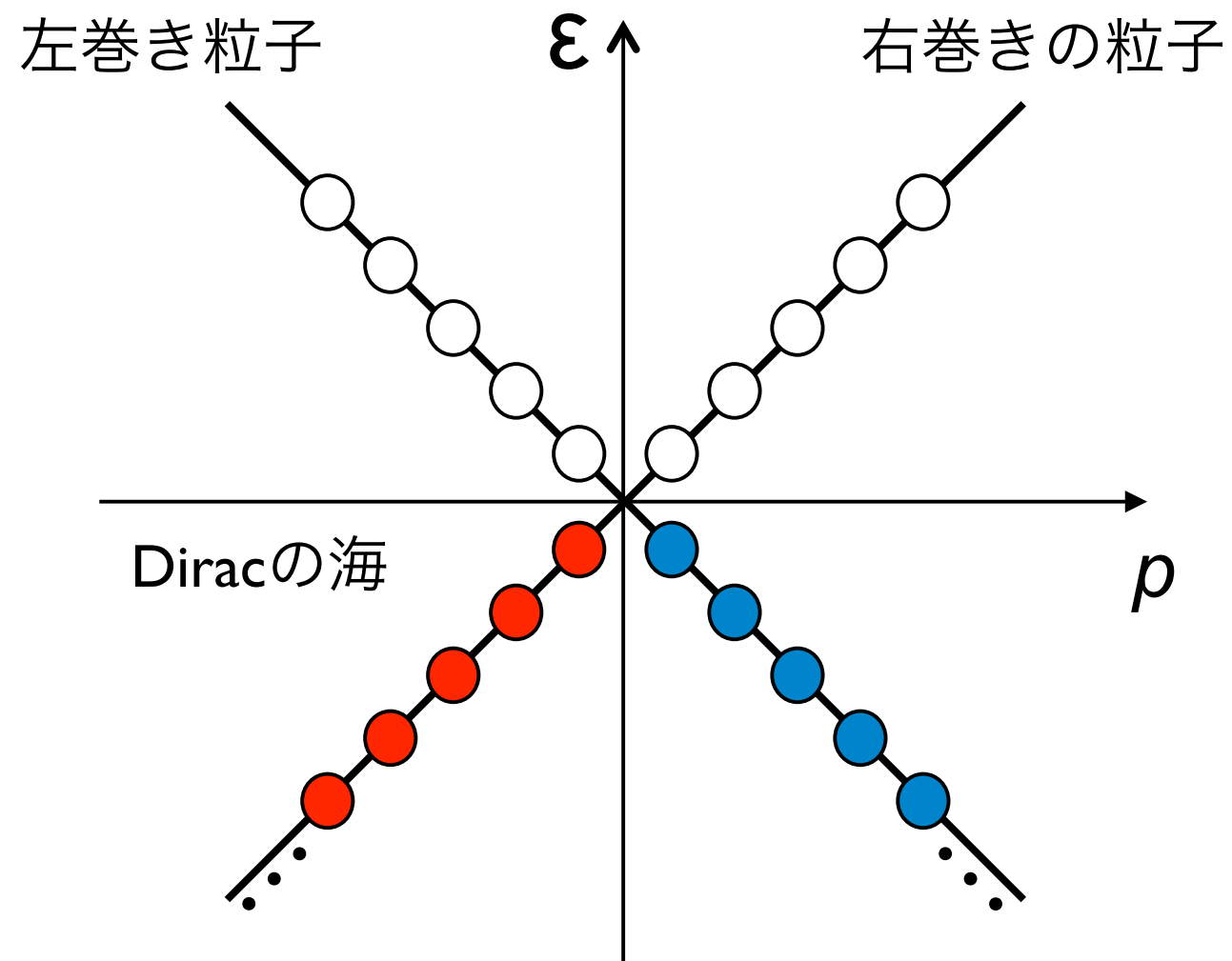


$$\longleftarrow \epsilon = -p_z$$

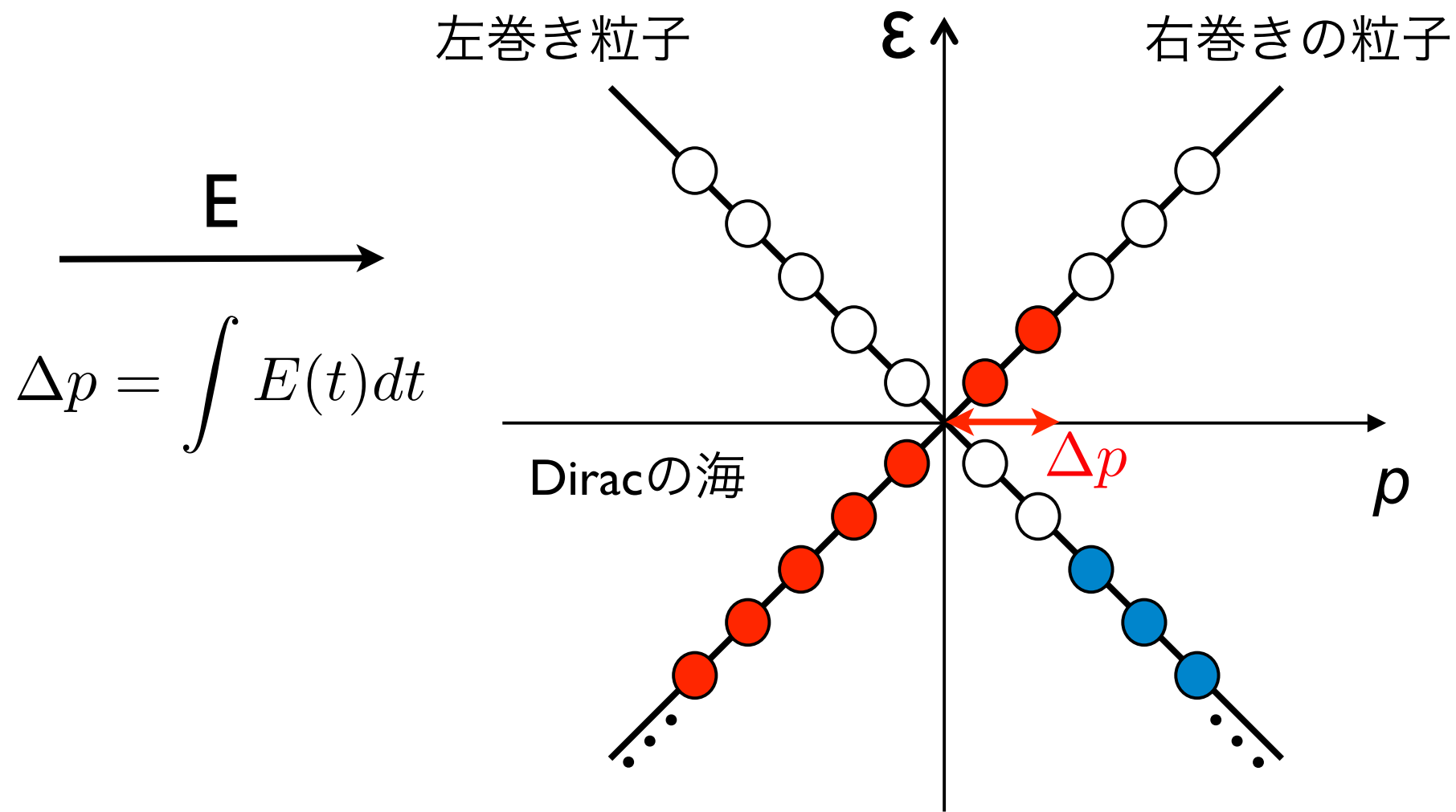
左巻き（左向き）粒子

- 古典的には、右巻き・左巻き粒子数はそれぞれ保存
- 量的には、必ずしもそうではない：カイラル量子異常

1+1次元のカイラル量子異常

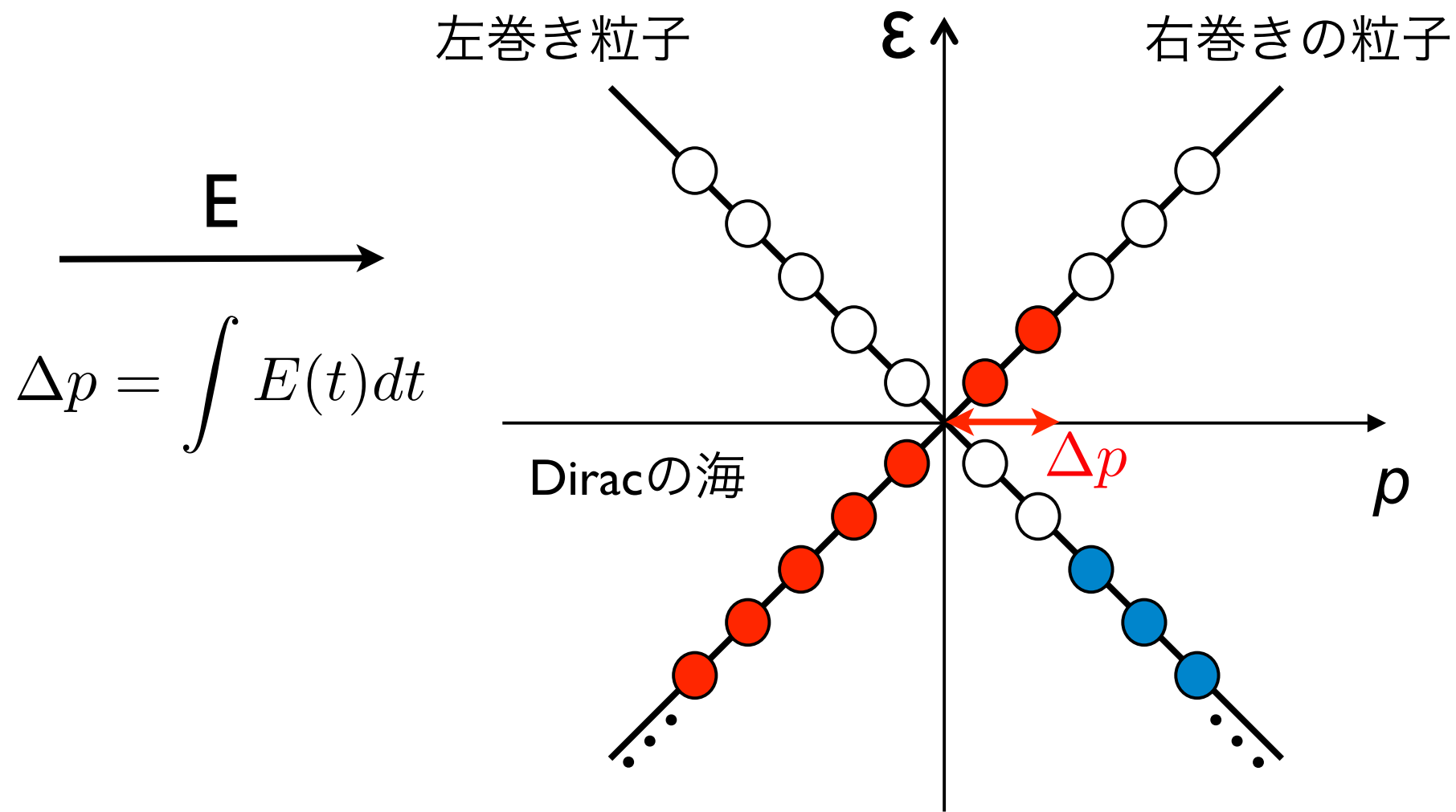


1+1次元のカイラル量子異常



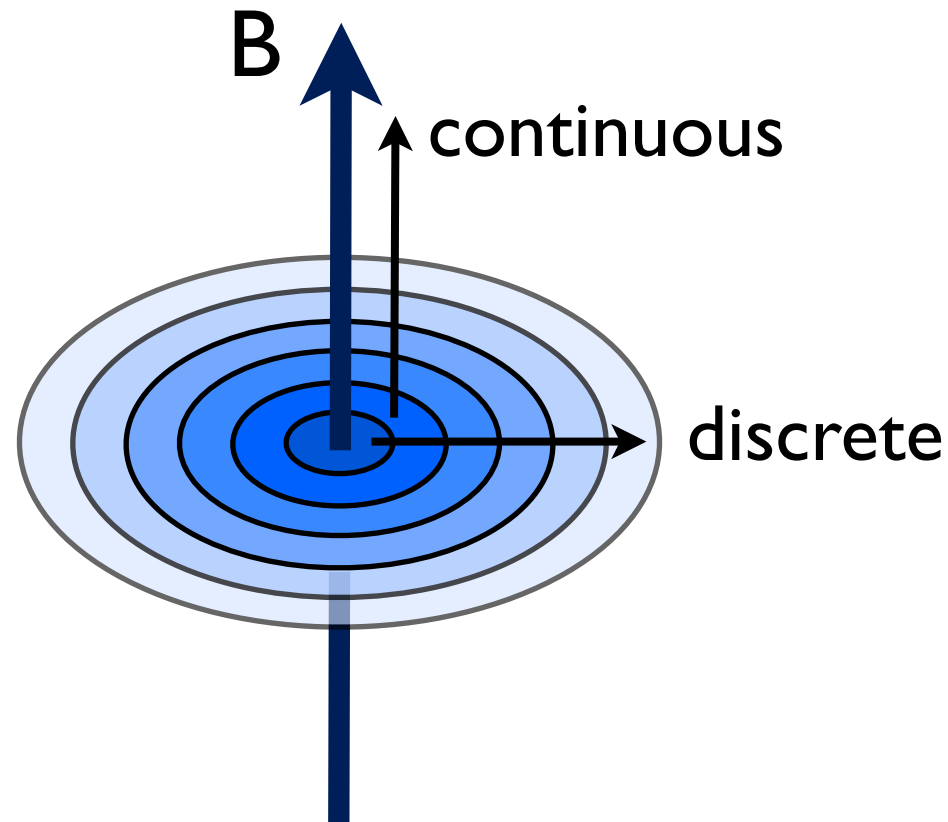
$$\Delta Q \equiv \Delta Q_R + \Delta Q_L = 0$$

1+1次元のカイラル量子異常



$$\Delta Q_5 \equiv Q_R - Q_L = \frac{1}{\pi} \int E(t) dt dz \quad \text{相対論的量子効果}$$

3+1次元のカイラル量子異常



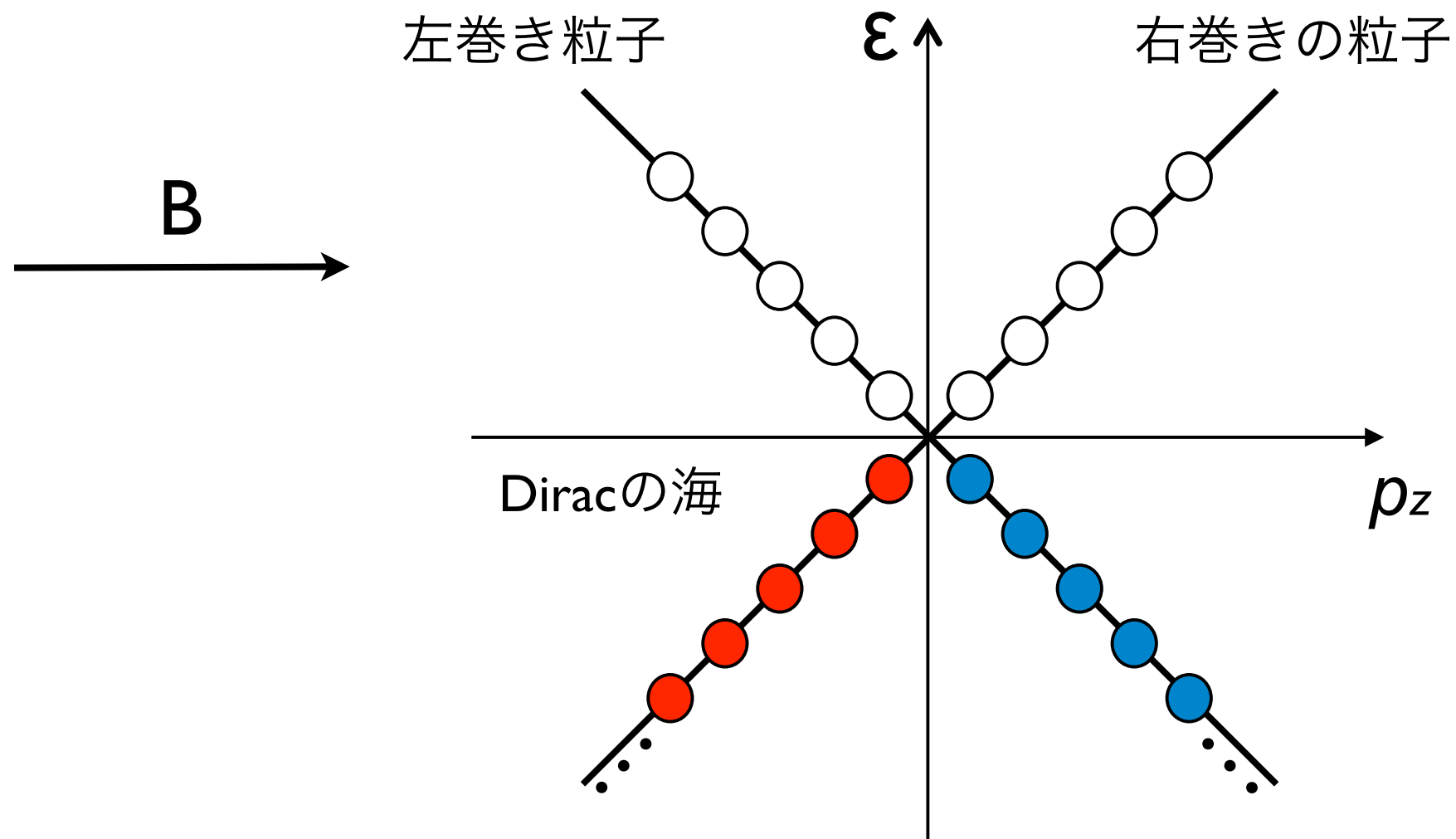
- 磁場によってLandau準位ができる

$$E_n^2 = p_z^2 + (2n + 1)B \pm B \quad (n = 0, 1, 2, \dots)$$

Zeeman効果

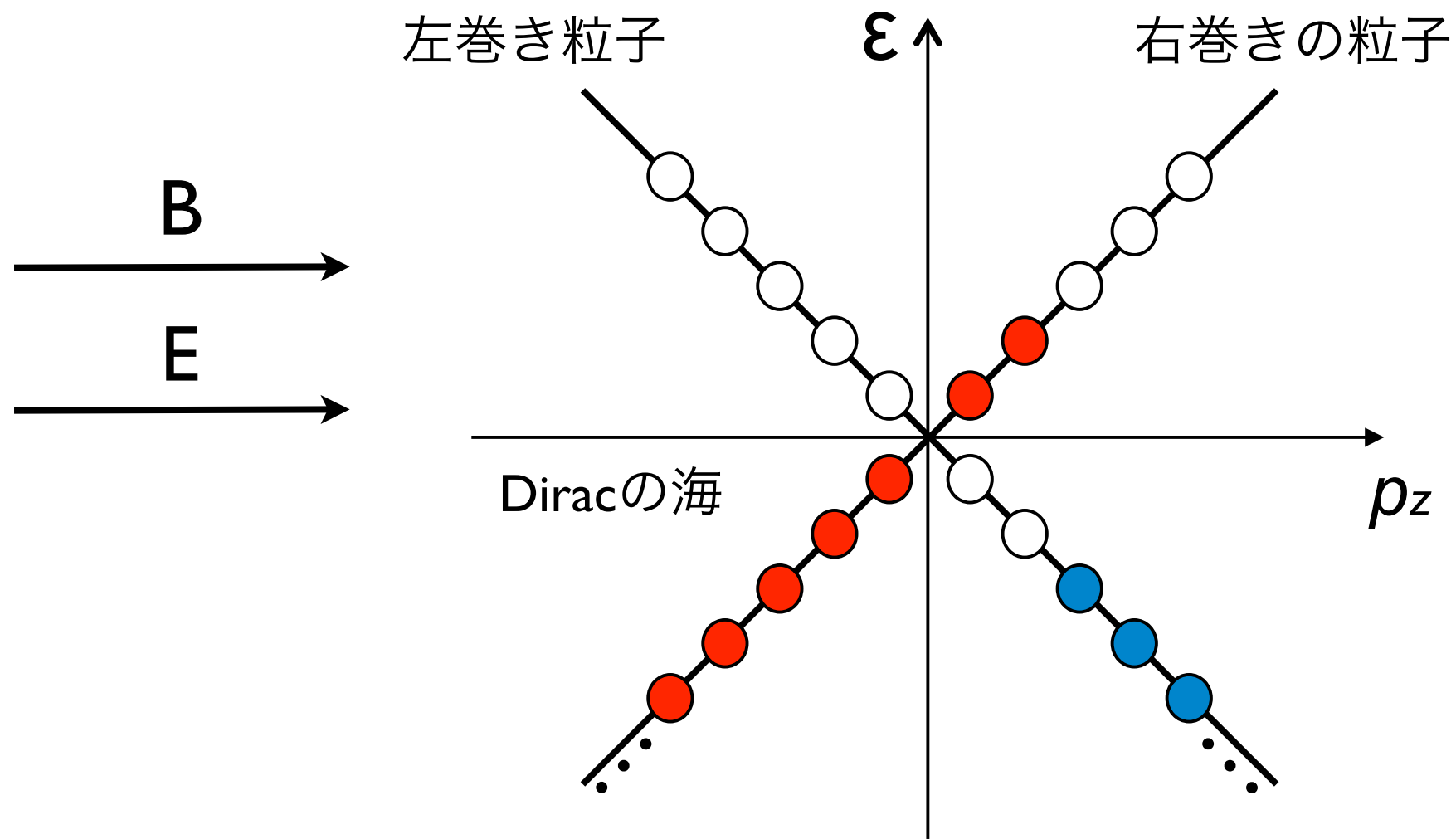
- 最低Landau準位 : 1+1次元のカイラル粒子

3+1次元のカイラル量子異常



最低Landau準位のカイラル粒子

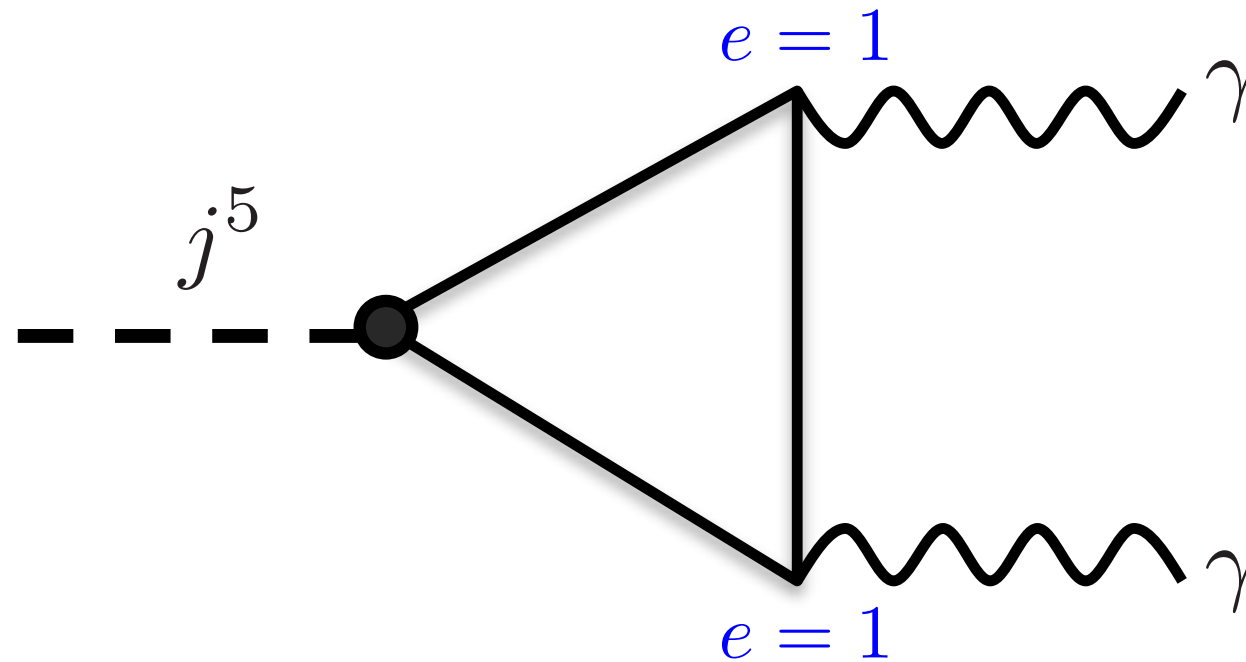
3+1次元のカイラル量子異常



Landau縮重度

$$\Delta Q_5 = \int \frac{E}{\pi} dt dz \int \frac{B}{2\pi} dx dy = \frac{1}{2\pi^2} \int d^4x EB$$

QED anomaly



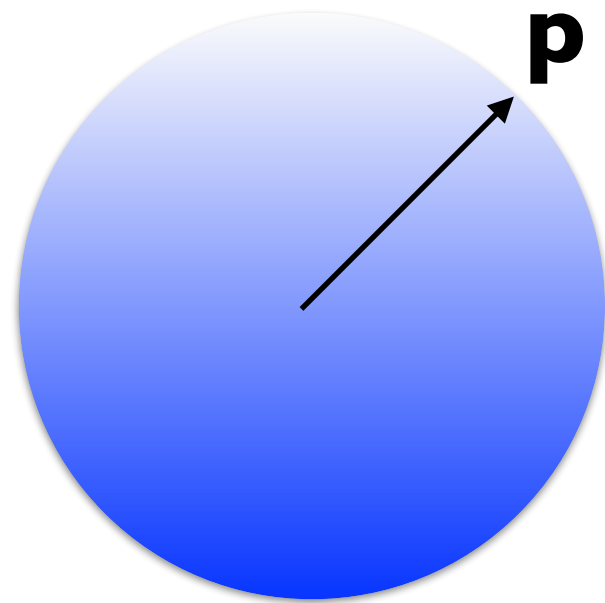
$$\partial_\mu j^{\mu 5} = \frac{1}{2\pi^2} \mathbf{E} \cdot \mathbf{B}$$

$$j^{\mu 5} \equiv j_R^\mu - j_L^\mu$$

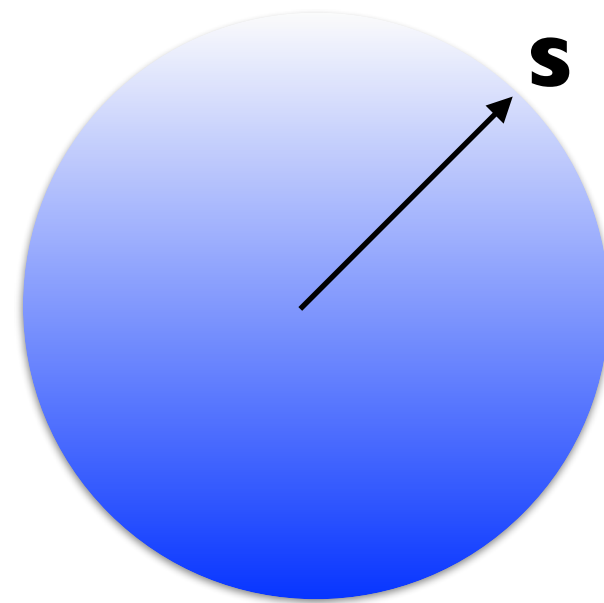
e.g., Peskin & Schroeder "An Introduction to Quantum Field Theory," Chapter 19

カイラリティとトポロジー

右巻きフェルミオン



運動量空間

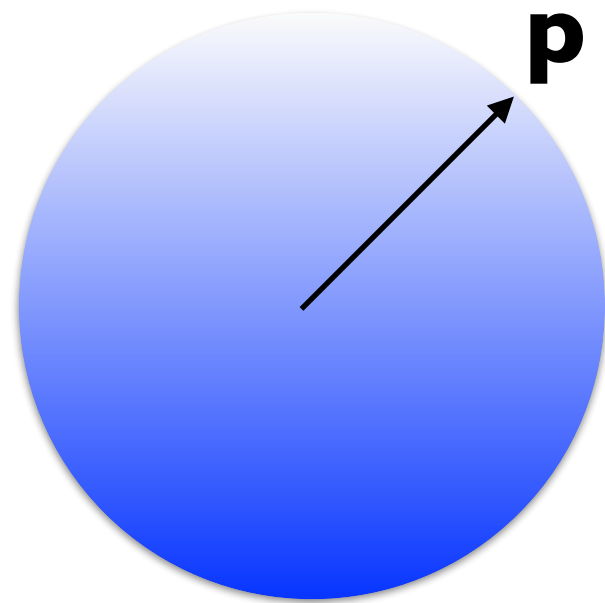


スピン空間

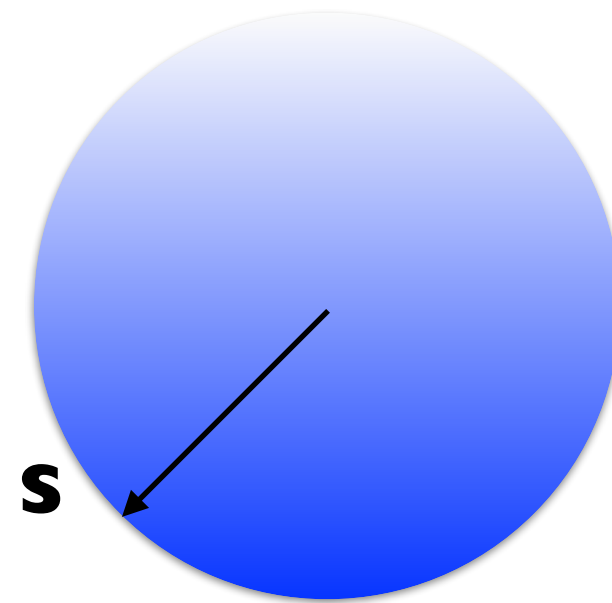
S^2 (運動量空間) から S^2 (スピン空間) への mapping: 巻き数 +1

カイラリティとトポロジ

左巻きフェルミオン



運動量空間



スピン空間

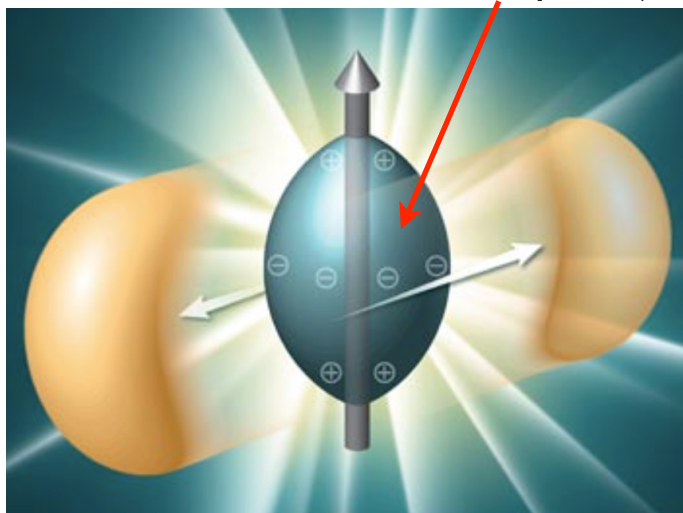
S^2 (運動量空間) から S^2 (スピン空間) への mapping: 巻き数 -1

カイラル物質 = 3次元のトポロジカル物質

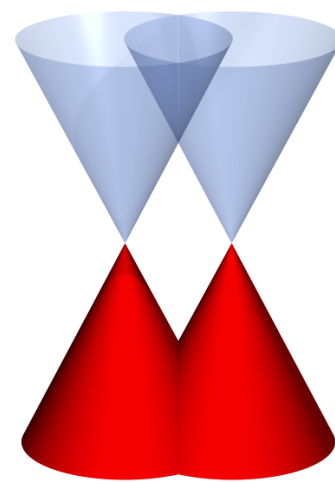
カイラル物質

- 初期宇宙における電弱プラズマ Joyce, Shaposhnikov (1997), ...
- 重イオン衝突におけるQGP Fukushima, Kharzeev, Warringa (2008), ...
- Weyl半金属 Nielsen, Ninomiya (1983), ...
- 超新星におけるニュートリノ物質 Yamamoto (2016), ...

カイラリティのゆらぎ



Quark-Gluon Plasma



Weyl 半金属



超新星爆発

カイラル輸送現象と有効理論

量子異常・カイラル輸送現象はエネルギースケールに依らない

ミクロ

マクロ

場の量子論

運動論

流体力学

(QED, QCD, ...)

(Boltzmann方程式)

カイラル量子異常
カイラル輸送現象

カイラル量子異常？
カイラル輸送現象？

カイラル輸送現象と有効理論

量子異常・カイラル輸送現象はエネルギースケールに依らない

ミクロ

マクロ

場の量子論 \longrightarrow カイラル運動論 \longrightarrow カイラル流体力学
(QED, QCD, ...) (Boltzmann方程式)

Son, Yamamoto (2012),
Stephanov, Yin (2012),
Chen et al. (2013), ...

Son, Surowka (2009),
Sadofyev, Isachenkov (2011),
Neiman, Oz (2011), ...

QGPだけでなく、物性・宇宙物理にも応用されている

QGPにおける カイラル輸送現象

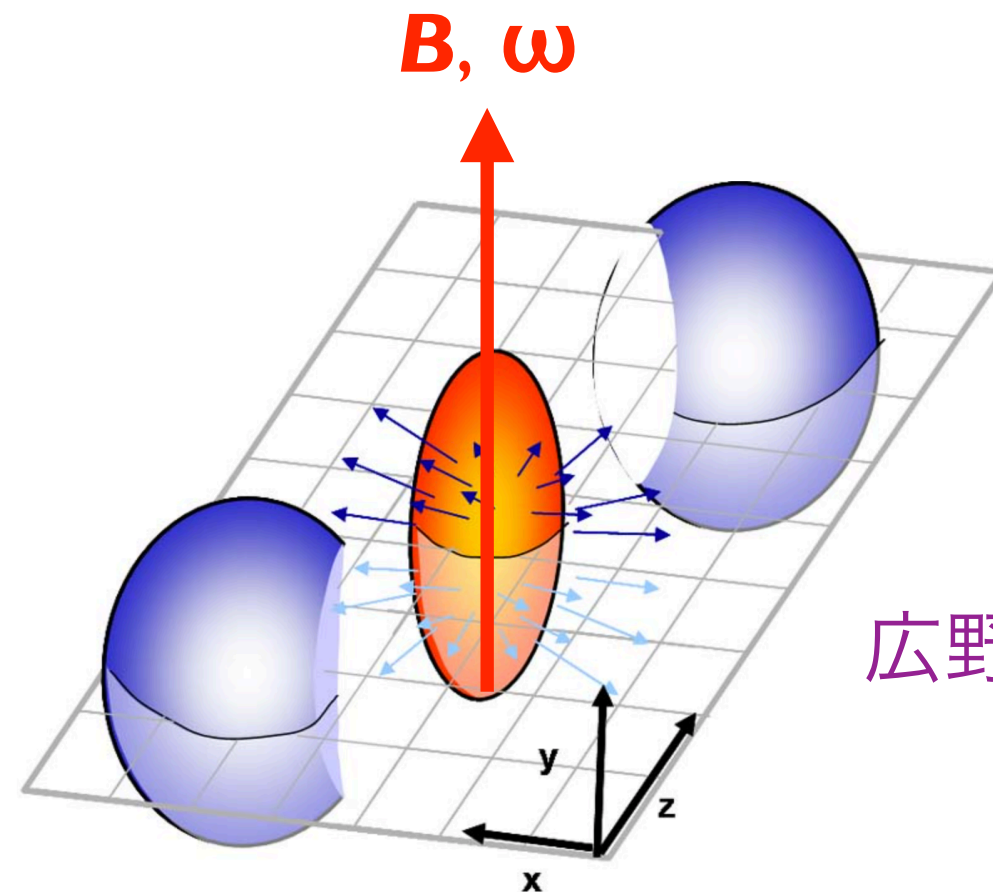
CME, CVE, CSEの条件

CME/CVE

$$j_e = \frac{\mu_5}{2\pi^2} (\mathbf{B} + 2\mu\boldsymbol{\omega})$$

CSE

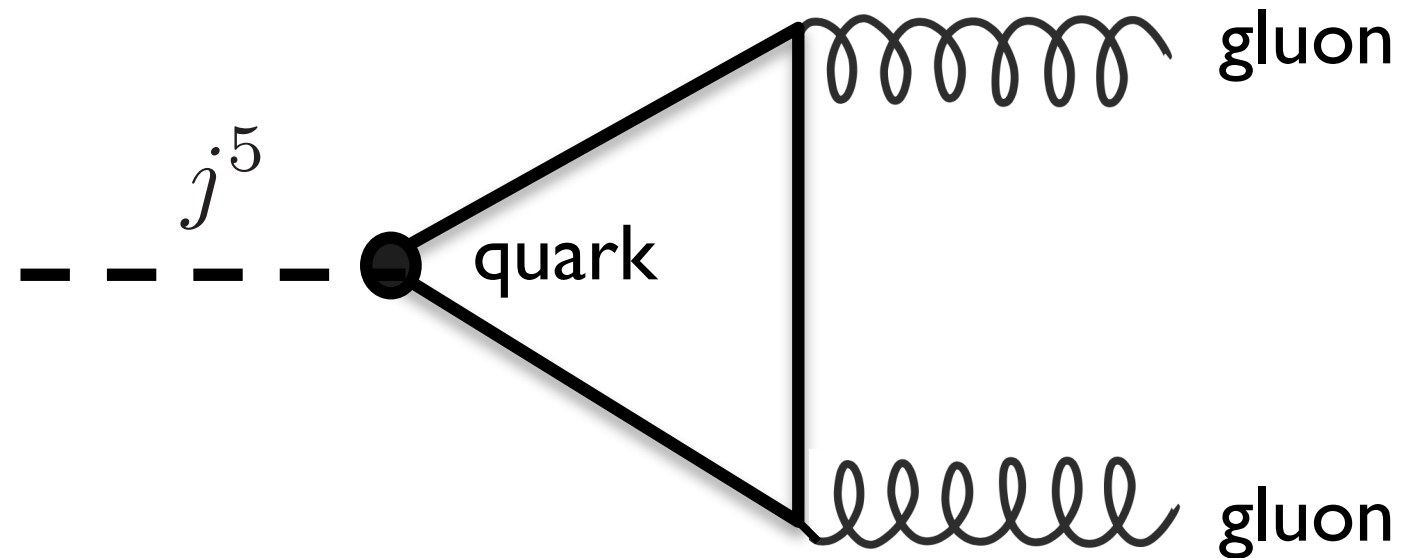
$$j_5 = \frac{\mu}{2\pi^2} \mathbf{B} + \left(\frac{\mu^2}{2\pi^2} + \frac{T^2}{6} \right) \boldsymbol{\omega}$$



広野さん・新井田さんの
講演参照

μ_5 の生成機構？

QCD anomaly



$$\partial_\mu j^{\mu 5} = \frac{N_f}{4\pi^2} \mathbf{E}^a \cdot \mathbf{B}^a$$

- カイラル電荷 n_5 を動的に生成 (局所的パリティの破れ) [Kharzeev \(2006\)](#)
- $n_5 \neq$ 流体力学変数 (μ_5 を定義できず) \rightarrow グルーオンも考えるべし

Chiral separation effect

$$j_5 = \frac{\mu}{2\pi^2} \mathbf{B} + \left(\frac{\mu^2}{2\pi^2} + \frac{T^2}{6} \right) \boldsymbol{\omega}$$

(カラー・フレーバー・クォーク質量は無視)

μ_5 は不要

QCD chiral separation effect

$$j_5 = N_c \text{tr}[Q] \frac{\mu}{2\pi^2} B + N_c N_f \left(\frac{\mu^2}{2\pi^2} + \frac{T^2}{6} \right) \omega$$

(クォーク質量は無視)

- $N_f = 2$: $N_c \text{tr}[Q] = 3 \left(\frac{2}{3} - \frac{1}{3} \right) = 1$
- $N_f = 3$: $N_c \text{tr}[Q] = 3 \left(\frac{2}{3} - \frac{1}{3} - \frac{1}{3} \right) = 0$

重イオン衝突で実験的に観測できるか？

新井田さんの講演参照

よくある誤解

CME, CVE, CSE の観測 → { クォークの非閉じ込め
カイラル対称性の回復 } の証拠

よくある誤解

CME, CVE, CSE の観測 → ~~{ クォークの非閉じ込め
カイラル対称性の回復 }~~ の証拠

カイラル量子異常・カイラル輸送現象はトポロジカル現象なので
対称性の破れ・回復、閉じ込め・非閉じ込めに依らない

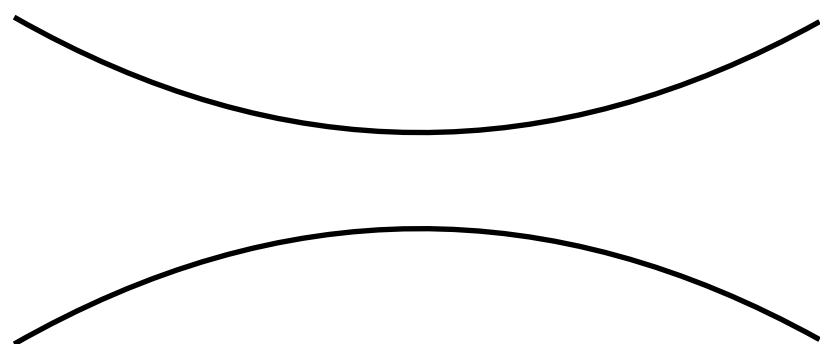
物性・宇宙物理 への展開

Weyl 半金属

(Weyl semi-metal)

バンド構造とWeyl半金属

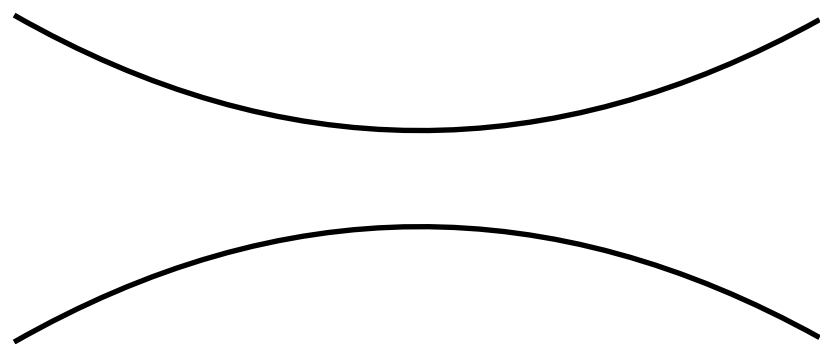
p -空間



準位反発

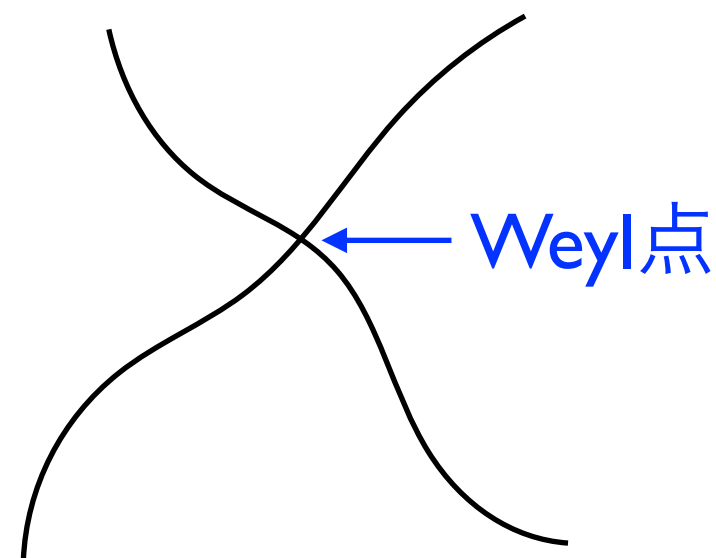
バンド構造とWeyl半金属

\mathbf{p} -空間



準位反発

(p_x, p_y, p_z) 空間

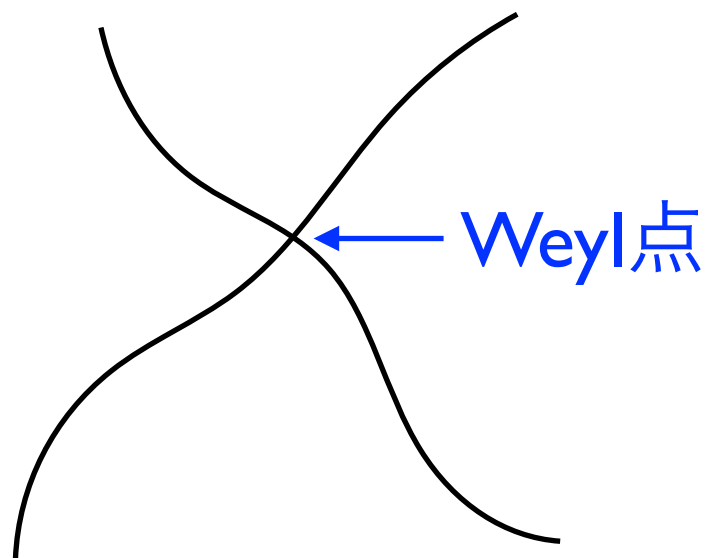


準位交差

Weyl半金属

バンド構造とWeyl半金属

(p_x, p_y, p_z) 空間



準位交差

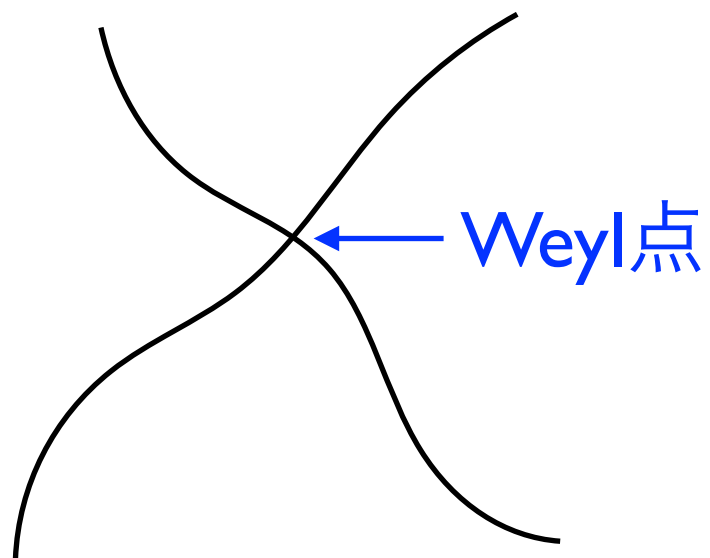
Weyl半金属

- Weyl点近傍では

$$H(\mathbf{p}) = \alpha_0(\mathbf{p})I_{2 \times 2} + \alpha_i(\mathbf{p})\sigma^i$$

バンド構造とWeyl半金属

(p_x, p_y, p_z) 空間



準位交差

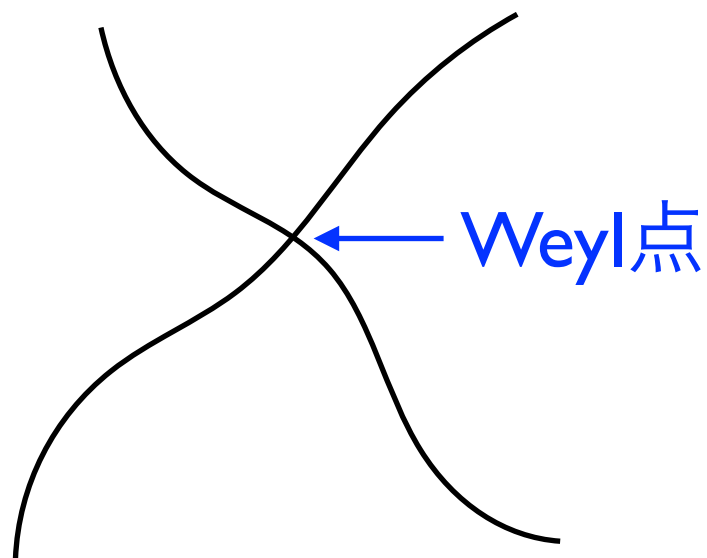
Weyl半金属

- Weyl点近傍では

$$H(\mathbf{p}) = \underbrace{\alpha_0(\mathbf{p})}_{E_0 + \mathbf{v}_0 \cdot \mathbf{p}} I_{2 \times 2} + \underbrace{\alpha_i(\mathbf{p})}_{v_{ij} p_j} \sigma^i$$

バンド構造とWeyl半金属

(p_x, p_y, p_z) 空間



準位交差
Weyl半金属

- Weyl点近傍では

$$H(\mathbf{p}) = \underbrace{\alpha_0(\mathbf{p})}_{E_0 + \mathbf{v}_0 \cdot \mathbf{p}} I_{2 \times 2} + \underbrace{\alpha_i(\mathbf{p})}_{v_{ij} p_j} \sigma^i$$

$$\longrightarrow E_0 \pm v_F \boldsymbol{\sigma} \cdot \mathbf{p}$$

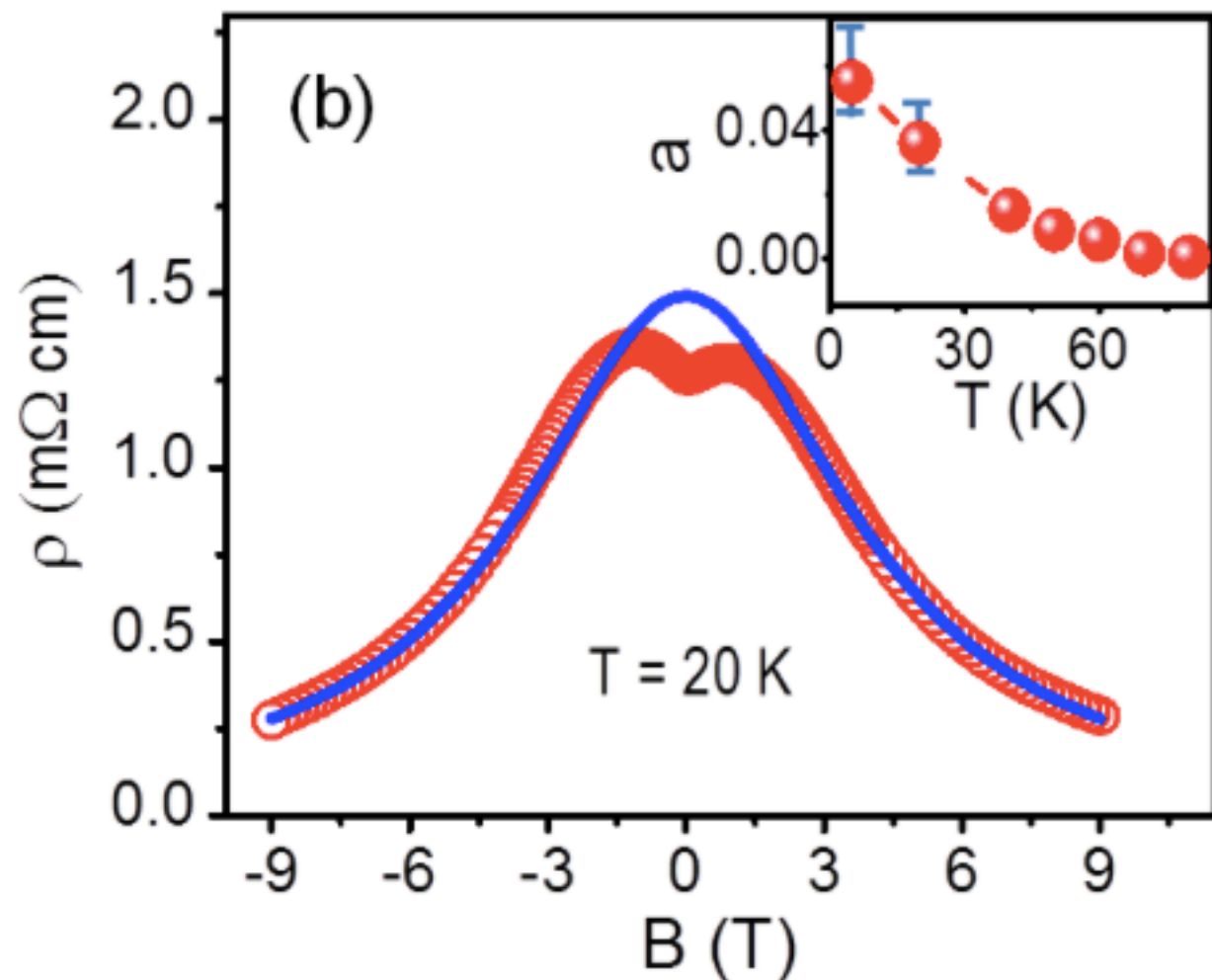
$$\mathbf{v}_0 = \mathbf{0}$$

$$v_{ij} = \pm v_F \delta_{ij}$$

Weyl fermion (chiral fermion) が創発

Negative magneto-resistance

ZrTe₅



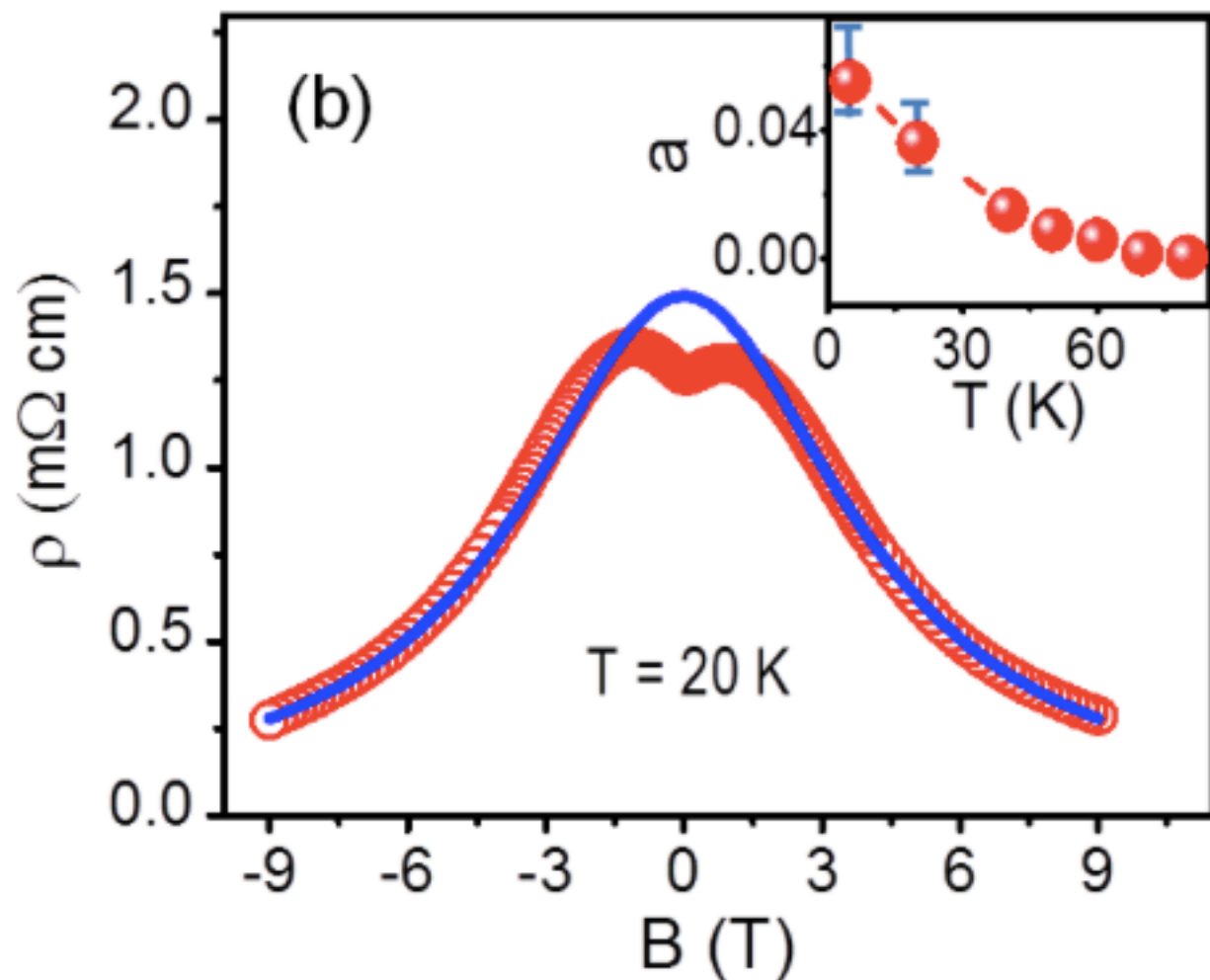
$$\frac{\partial n_5}{\partial t} = \frac{1}{2\pi^2} \mathbf{E} \cdot \mathbf{B} - \frac{n_5}{\tau}$$

定常状態 : $n_5 = \frac{\tau}{2\pi^2} EB$

Q. Li *et al.* [arXiv:1412.6543];
J. Xiong *et al.* [arXiv:1503.08179]

Negative magneto-resistance

ZrTe₅



Q. Li *et al.* [arXiv:1412.6543];
J. Xiong *et al.* [arXiv:1503.08179]

$$\frac{\partial n_5}{\partial t} = \frac{1}{2\pi^2} \mathbf{E} \cdot \mathbf{B} - \frac{n_5}{\tau}$$

定常状態: $n_5 = \frac{\tau}{2\pi^2} EB$

$$j_{\text{CME}} = \frac{\mu_5}{2\pi^2} B = \frac{\tau}{4\pi^4 \chi} B^2 E$$

σ_{CME}

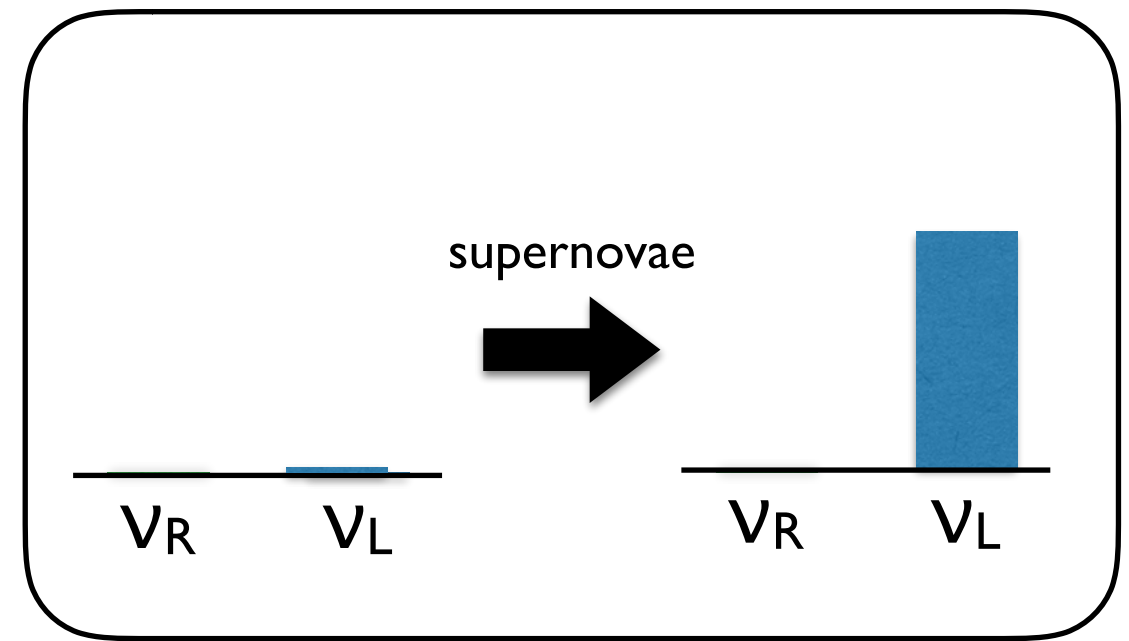
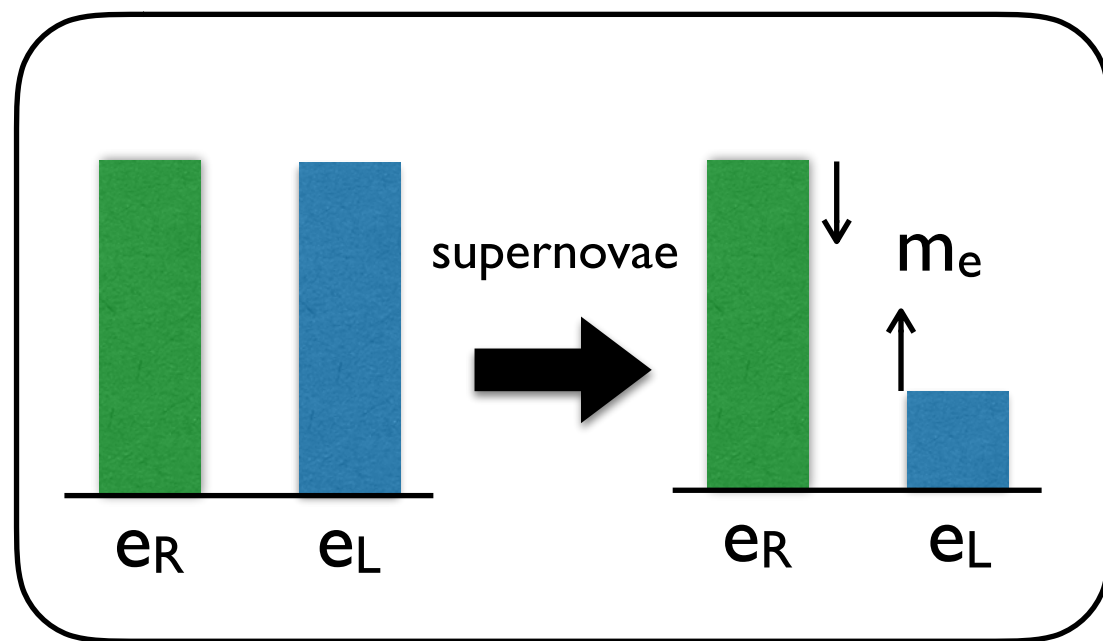
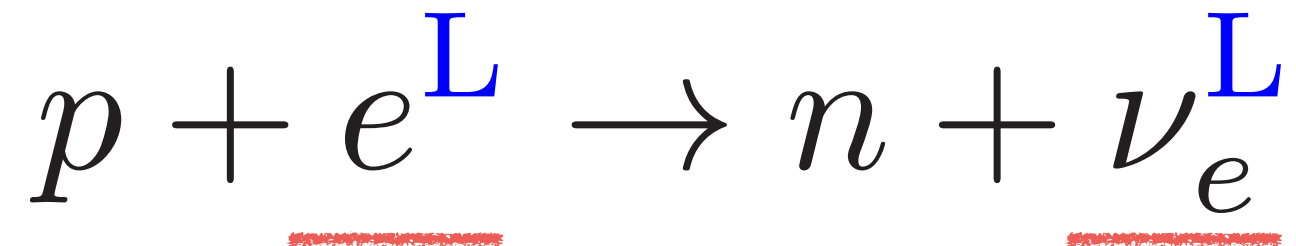
$$\rho(B) \equiv \frac{1}{\sigma_{\text{Ohm}} + \sigma_{\text{CME}}} = \frac{1}{\# + \#B^2}$$

Son, Spivak (2013)

量子異常とCMEの帰結

重力崩壊型
超新星爆発

超新星 = Giant Parity Breaker



Ohnishi, Yamamoto (2014); Grabowska, Kaplan, Reddy (2015); Sigl, Leite (2016), ...

大域的なパリティの破れ → マクロな流体の時間発展を劇的に修正

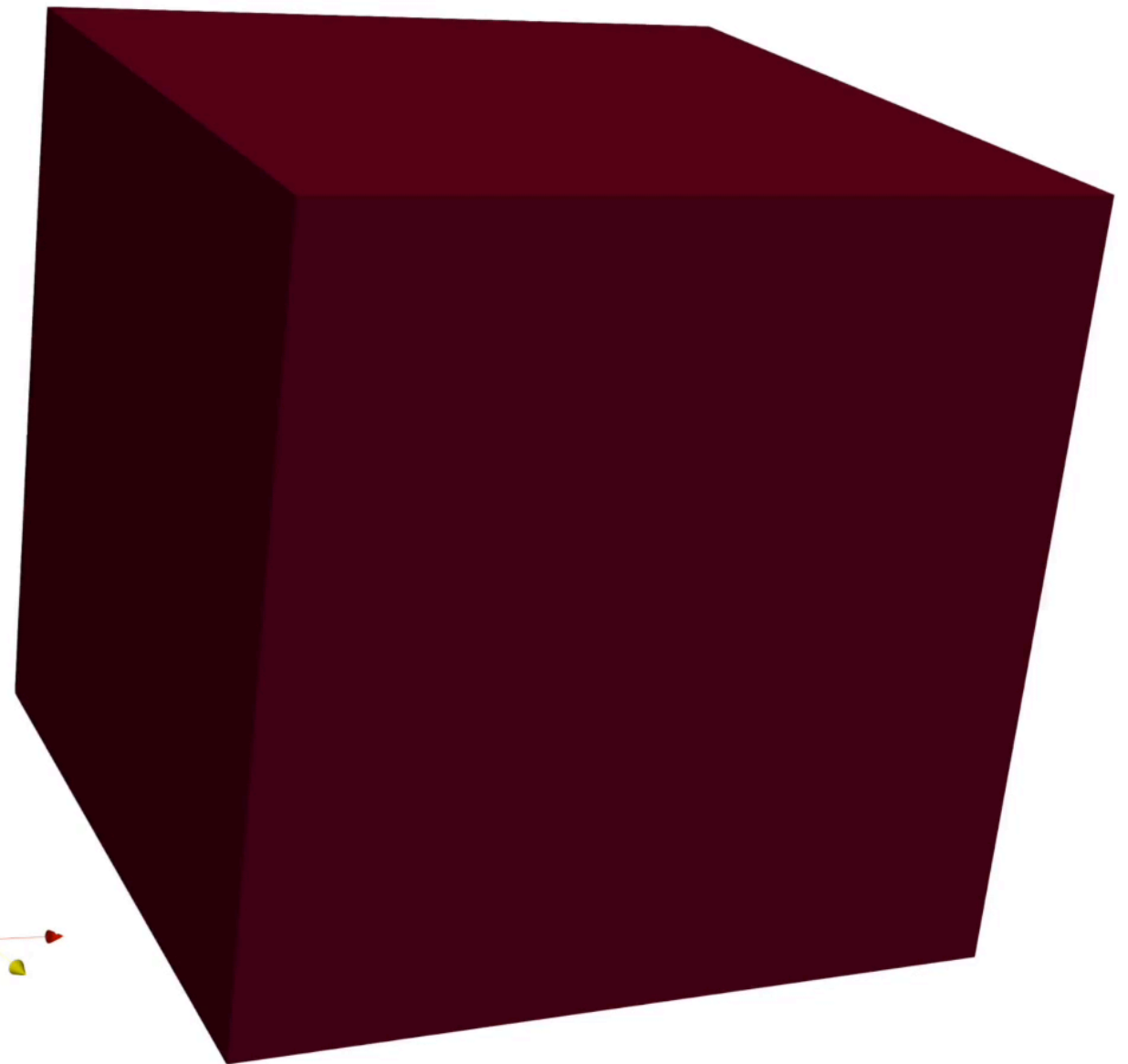
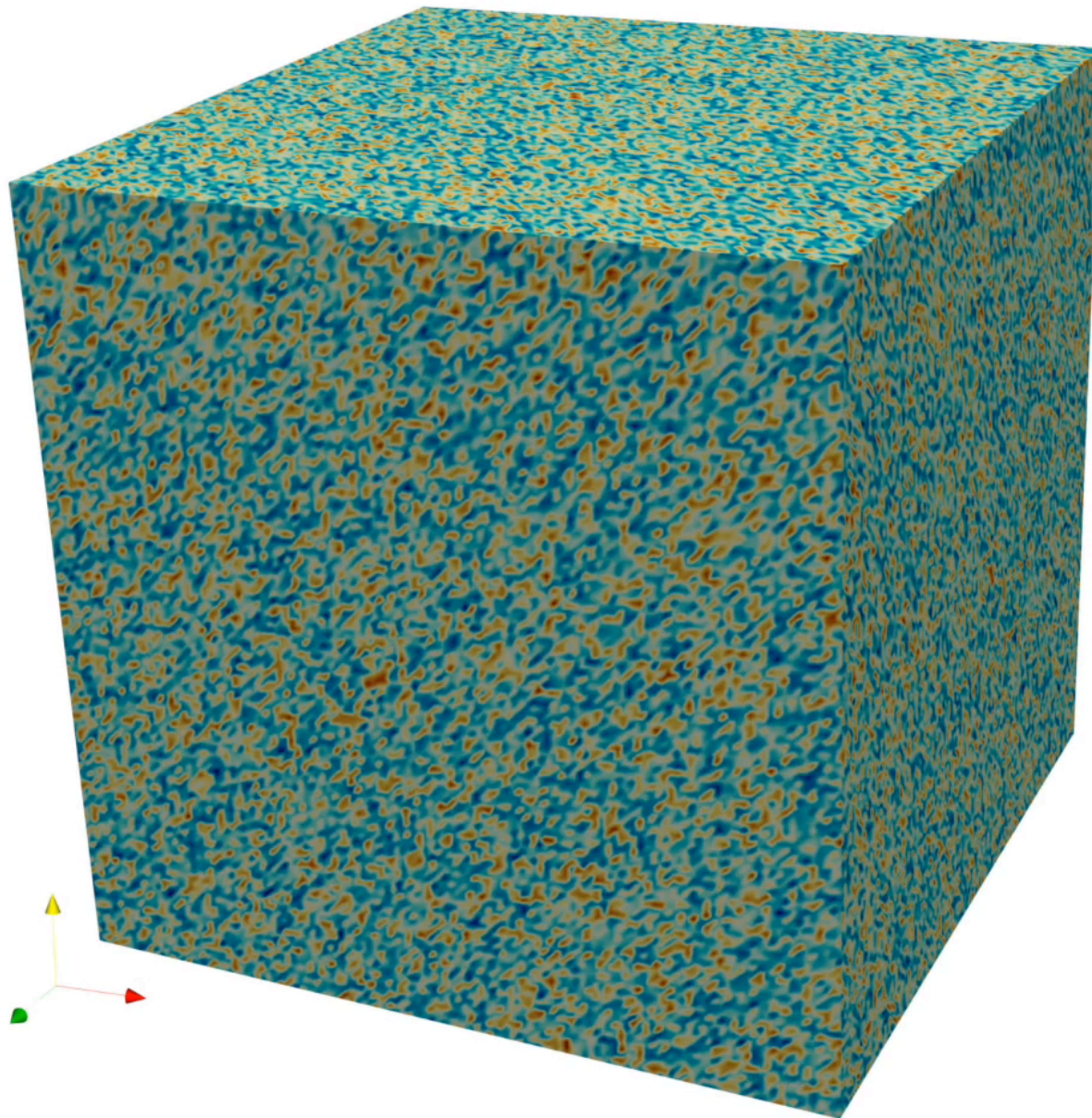
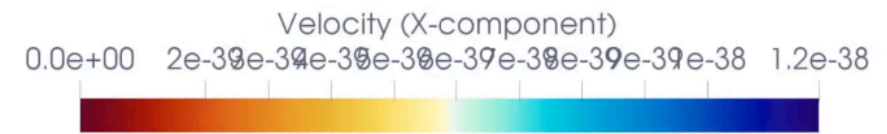
カイラル電磁流体の乱流

Masada, Kotake, Takiwaki, Yamamoto, 1805.10419

磁場の大きさ



流速 v_x



逆カスケード → 超新星での重要性を示唆

まとめ

カイラル輸送現象の普遍性

